文章编号: 1000 - 8152(2002)01 - 0135 - 04

组合导航系统 INS/GNSS/SAR 及其降阶模型性能的研究

邹维宝 高社生 任思聪 (西北工业大学自动控制系·西安.710072)

摘要:介绍了高阶组合导航系统惯性导航系统(INS)/全球导航卫星系统(GNSS)/合成孔径雷达(SAR)及其降 所模型 降阶系统的卡尔曼滤波时间大大缩短了,但其精度并未有大的降低.仿真结果证明,INS.GNSS/SAR 的降阶 模型仍可为飞机提供满意的导航精度.

关键词:组合导航系统;卡尔曼滤波;降阶模型

文献标识码: A

Performance Study of INS/GNSS/SAR Integrated Navigation System and Its Reduced-Order Model

ZOU Weibao, GAO Shesheng and REN Sicong

(Department of Automatic Control, Northwestern Polytechnical University: Xi'an, 710072, P. R. China)

Abstract: Thus paper introduces a full-order inertial navigation system(INS)/global navigation satellite system(GNSS), synthetic aperture radar(SAR) integrated navigation system and its reduced-order model. The computation time of Kalman filter for reduced-order model is decreased with little loss in accuracy. The simulation results prove that the reduced-order model can also provide satisfactory accuracy for aircraft navigation.

Key words: integrated navigation system; Kalman filter; reduced-order model

1 引言(Introduction)

INS: GNSS:/SAR 组合导航系统采用卡尔曼滤波器进行数据处理.该组合系统的特性是由动态模型和观测模型来描述的.动态模型可用一线性微分方程表示,其中包括 INS, GNSS 和 SAR 的系统误差.观测模型包括 INS, GNSS 和 SAR 的观测量及其观测量的组合.

卡尔曼滤波器的计算时间是由系统的状态矢量 维数 n 决定的. 每一步迭代的计算量等于 n³, 状态 维数的减少有利于计算时间的缩短. 而且,组合系统 阶数的降低也有利于工程实现. 目前,绝大多数有效 控制系统的设计方法都是基于低阶模型,而复杂的 高阶模型往往难以获得一个稳态系统.

模型降阶的目的是为了寻找到一个低阶模型, 且该模型可以体现复杂的高阶模型的动态特性,本 文首先介绍了包含 23 个状态的高阶组合系统模型, 在此基础上忽略一些不可观测或难以观测的状态, 从而得到一个包含 17 个状态的降阶模型,仿真说明,降阶模型可为飞行器提供满意的导航精度.

2 组合导航系统 INS/GNSS/SAR 的设计 (Description of INS/GNSS/SAR integrated

navigation system)

2.1 动态误差模型(Dynamic error model)

在本文中, 建模惯导系统为 SINS, 导航坐标系 采用东北天地理坐标系. 组合导航系统 INS/GNSS/SAR 的高阶动态误差模型如下:

 $\dot{X}(t) = F(t)X(t) + G(t)W(t).$ (1) $\dot{X}(t)$ 是状态变量,由系统的多种误差组成[1],即:

$$\begin{split} X(t) &= \left[\phi_{E}, \phi_{N}, \phi_{U}, \delta V_{E}, \delta V_{N}, \delta V_{U}, \right. \\ &\left. \delta L, \delta \lambda, \delta h, \varepsilon_{x}, \varepsilon_{y}, \varepsilon_{z}, \right. \\ &\left. \varepsilon_{m_{X}}, \varepsilon_{m_{Y}}, \varepsilon_{m_{Z}}, \nabla_{x}, \nabla_{x}, \nabla_{z}, \right. \\ &\left. \Delta \operatorname{tr}, \delta \operatorname{tr}, \varphi_{x}, \varphi_{y}, \varphi_{z} \right]^{T}. \end{split}$$

其中: ϕ_E , ϕ_N , ϕ_U 为姿态角误差: δV_E , δV_N , δV_U 为速度误差: δL , $\delta \lambda$, δh 为位置误差: ϵ_v , ϵ_v , ϵ_v , 为陀螺常值漂移: ϵ_{mx} , ϵ_{mv} , ϵ_{mv} , 为陀螺一阶马尔科夫漂移: ∇_v , $\nabla_$

系统噪声 W(t) 为:

W(x) =

 $[W_{\epsilon x}, W_{\epsilon y}, W_{\epsilon z}, W_{\epsilon mx}, WW_{\epsilon my}, W_{\epsilon mz}]$

$$W_{\nabla x}$$
, $W_{\nabla z}$, $W_{\nabla z}$, $W_{\Delta tr}$, $W_{\delta tr}$, $W_{\epsilon tr}$, $W_{\epsilon cr}$]^T.

 $F(t)(23 \times 23)$ 是组合系统的动态矩阵,其中包含有 90% 的零元素. $G(t)(23 \times 14)$ 是系数矩阵,它包含 95%的零元素. 这两个矩阵均为稀疏矩阵.

2.2 观测模型(Observation model)

组合系统的测量信息包括 GNSS 测得的伪距 ρ_G 及伪距率 ρ_G ,相应于 INS 给出的位置处的伪距 ρ_I 及伪距率 ρ_I ,SAR 的方位角 A 及俯仰角 E 测量值.

SAR 的测量值可表示为:

$$\tilde{Z}_A = A + V_A,$$

$$\bar{Z}_E = E + V_E.$$

A, E 分别为方位角及俯仰角的真值、 V_A, V_E 是测量误差,可以认为是白噪声。

系统测量方程为:

$$Z_K = \begin{bmatrix} \rho_G - \rho_1 \\ \dot{\rho}_G - \dot{\rho}_1 \\ A \\ E \end{bmatrix} + V_K.$$

线性化后可得:

$$Z(t) = H(t)X(t) + V(t)$$
. (2)
其中, $H(t)$ 是组合系统的测量矩阵,包含 78.7% 的零元素,是稀疏矩阵, $V(t)$ 是测量噪声.

3 模型降阶方法(Model order reduction method investigation)

卡尔曼滤波器的稳定性是由系统的可控性和可观测性决定的,它们是系统模型降阶中非常关键的两个因素。

对于 INS/GNSS/SAR 组合系统,其可控性与可观测性可定义为如下的格兰姆矩阵:

可控性为:

$$P = \int_0^\infty \mathrm{e}^{Ft} G G^{\mathsf{T}} \mathrm{e}^{F^{\mathsf{T}}_t} \mathrm{d}t,$$

可观测性为:

$$Q = \int_0^\infty e^{Ft} H H^T e^{F^T t} dt.$$

对于系统(1)和(2),如果 F(t)的所有特征值都在左半平面,则 P,Q 是半正定矩阵,且是唯一的.它们满足如下的 Lyapunov 方程

$$FP + PF^{\mathrm{T}} + GG^{\mathrm{T}} = 0,$$

$$F^{\mathrm{T}}Q + QF + H^{\mathrm{T}}H = 0.$$

对于 P,Q 来说,系统可控性及可观测性的概念 \mathbb{R} .

- a) 当且仅当 F,G 是完全可控时, P 为正定的;
- b) 当且仅当 F,H 是完全可观测时,O 为正定的.

从数学的角度来看,系统的可控性与可观测性问题可以用相同的手段来解决.这里,我们来考虑一下系统的可观测性.系统的可观测性是由观测矩阵 B 的性质决定的.

$$B = \begin{bmatrix} H(0) \\ H(1)F(0) \\ \dots \\ H(n)F(n)F(n-1)\cdots F(0) \end{bmatrix}$$

如果 B 是满秩的,则系统(1)和(2)就是可观测的,否则就是不可观测的.

上面我们介绍了判断组合系统可观测性的理论上的可行性。但在实际中,这些计算是十分复杂的.我们采用另一种近似的方法,即:研究输出端对状态估计的可能性.如果一个动态系统是可观测的,那么动态方程中所有的状态在输出端都是可被估计的.相反,如果某一个状态在输出端是不可估计的,那么该状态就不可观测.

4 INS/GNSS/SAR 组合系统的降阶模型 (Reduced order model for integrated INS/GNSS/SAR)

关于模型降阶这方面的研究文章有很多^[2],这些方法可以分为两大类.第一类,保留系统中的主要状态,例如 Aggregation 方法, Model 方法, Lyapunov函数方法和 Perturbation 方法^[3].另一类方法是对输入-输出数据的辨识,这些数据是通过用一特定的输入信号驱动原系统而获得的.对 INS/GNSS/SAR 组合系统而言,由于模型降阶是应用于工程实践中,所以我们采用第一种方法,即:忽略系统中的某些状态以减小计算量的难度.

忽略状态的方法是基于物理系统与数学模型两者关系之上的,根据文[4],那些不可观测的状态对系统的影响极小,所以即使未考虑这些状态,滤波性能也下降不多,可是滤波实际结果因为没有考虑这些状态的影响而不再是最优的,但这些状态的忽略不会影响到动态系统的基本特性,

对于系统(1)和(2),我们可以判断,当采用卡尔曼滤波器时,哪些状态是可观测的,哪些状态是不可观测的,在静基座条件下,陀螺常值漂移、加速度计零偏等6个量是不可观测的.用户钟偏和钟漂等状

态,用卡尔曼滤波器是不可观测的.于是,在系统(1)中,3个陀螺常值漂移状态可以去掉;3个加速度计零偏状态可认为是白噪声,可以忽略;钟偏和钟漂状态是深组合情况下必须的,它们不仅不能被忽略,而且它们还是增强滤波器鲁棒性的重要状态.

于是,组合系统降阶动态模型可以表示为:

$$\dot{X}_{d}(t) = F_{d}(t)X_{d}(t) + G_{d}(t)W(t).$$

其中

$$\begin{split} X_{\rm d}(t) &= [\,\phi_E,\phi_N,\phi_U,\delta V_E,\delta V_N,\delta V_U\,,\\ \delta L\,,\delta \lambda\,,\delta h\,,\varepsilon_{\rm mx}\,,\varepsilon_{\rm m},\,,\varepsilon_{\rm mz}\,,\\ \Delta {\rm tr},\delta {\rm tr},\,\varphi_x\,,\varphi_x\,,\varphi_x\,]^{\rm T}. \end{split}$$

 $F_d(t)(17 \times 17)$ 是降阶组合系统的动态矩阵, $G_d(t)$

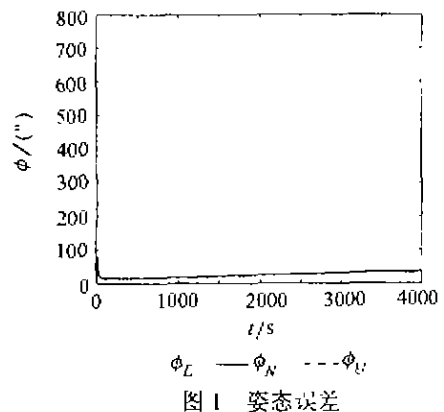


Fig. 1 Attitude error curves (1σ) (23 states)

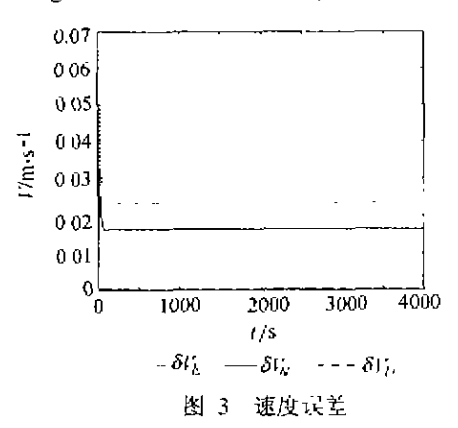


Fig. 3 Velocity error cures (1σ) (23 states)

飞机初始位置为东经 120°, 北纬 30°, 高度 1000m, 航向正东, 速度 300m/s, 飞行时间 4000s, 陀螺漂移 0.1°/h, 加速度计零偏 10⁻⁴g. 按照几何位置误差系数最小的原则, 从可见星座中选择 4 颗最佳 GNSS 导航星,

图 1、图 3 所示的是高阶模型的导航误差曲线,图 2、图 4 所示的是低阶模型的导航误差曲线. 从误差曲线上可以看出,姿态角误差 ϕ_E , ϕ_N 在两种模型下的差别较小. 方位角误差 ϕ_U 和速度误差 δV_E , δV_N

(17×14)是噪声系数矩阵,

测量方程为:

$$Z_{d}(t) = H_{d}(t)X_{d}(t) + V(t).$$

 $H_{d}(t)$ 是降阶组合系统的测量矩阵, V(t) 是测量噪声

5 仿真(Simulation)

为了将高阶系统与低阶系统进行对比说明,本文采用方差分析法进行仿真.系统降阶后的滤波是次优滤波^[5,6],仿真采用的是均方差方程,仿真结果如图 1~4 所示.表 1 列出了高阶^[7,8]和低阶模型的计算时间.表 2 列出了高阶和低阶模型的导航误差精度.

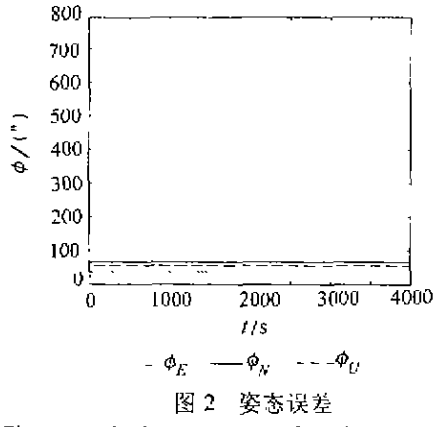


Fig. 2 Attitude error curves (1σ) (17 states)

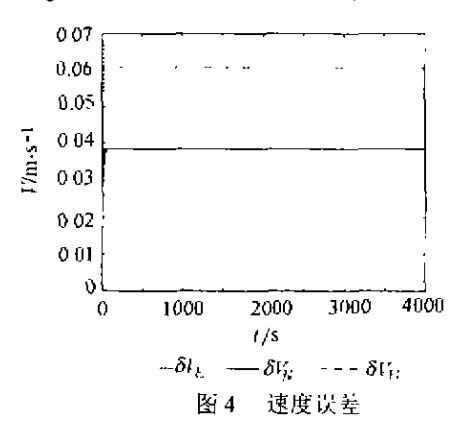


Fig. 4 Velocity error cures (1 σ) (12 states)

的差别较大些,这主要是由于简化了陀螺和加速度 计模型.

表 1 高阶与低阶模型计算时间对比

Table I Computation time comparison of high-order and reduced-order model

组合系统状态	每一步计算时间
23 个状态	0.11s
17 个状态	0.05s

表 2 导航误差对比 (1σ)

Table 2 Navigation errors comparison

导航误差	高阶(23)	低阶(17)
φ _E (")	33.11	36.52
φ _N (")	36.25	65.62
$\phi_U(")$	33.08	56.11
$\partial V_E/\mathrm{m}\cdot\mathrm{s}^{-1}$	0.023	0.0609
$\delta V_N/{ m m\cdot s^{-1}}$	0.0163	0.0384
$\delta V_U/{ m m}\cdot { m s}^{-1}$	0.002	0.008

6 结论(Conclusion)

基于以上的仿真结果,我们可以得到以下的结论:

- 1) 降阶模型可以为飞机导航提供满意的精度;
- 2)卡尔曼滤波器的计算时间是组合系统状态 矢量的三次方、模型从 23 阶降到 17 阶,计算时间减少了大约 55%,这对工程实现是非常有益的;
- 3) 在降阶组合系统中, 陀螺常值漂移被去掉了. 但是, 为了进一步提高导航精度, 可以对它进行补偿,

参考文献(References)

- [1] Layne J R and Paschall R N. Performance analysis of an integrated SAR/GPS INS targeting and navigation system [A]. Proceedings of 50th Annual Meething, Institute of Navigation '94 [C], New York, USA, 1994,157 – 168
- [2] Zhatev Z. Computational Methods for General Sparse Matrices [M].USA; Kluwer Academic Publishers, 1991
- [3] Zhou Tong, Improving design assessment and simulation of large-scale dynamic system [D], Michigan, USA: Michigan State Uni-

versity, 1988

- [4] Davison E J, A method for simplifying linear dynamic system [J].
 IEEE Trans. Automatic Control, 1967, 12; 119 121
- [5] Qun Yongyuan. Kalman Filtering & Integrated Navigation [M]. Xi'an: Northwestern Polytechnical University Press, 1998
- [6] Eric M J. Identification using low models [D] Berkley, USA: University of California, Berkley, 1988
- [7] Ornedo R S and Kenneth A. GPS and radar aided inertial navigation system for missale system applications [A]. Proceedings of 42th Annual Meeting on Position, Location and Navigation System [C], London, UK, 1998, 614 – 621
- [8] Schmidt D J. Error annalysis of an air-to-surface missile with a synthetic aperture radar seeker [A]. Proceedings of 37th Annual Meeting, Insutute of Navigation 81, [C]. New York, USA, 1981, 363 370

本文作者简介

邹维宝 1967年生 1989年毕业于合肥工业大学资源环境系, 1997年获西北工业大学飞行力学专业硕士学位, 2000年获西北工业大学导航、制导与控制专业博士学位, 研究领域为自动控制,组合导航系统及多传感器智能化信息融合技术,现在香港理工大学从事导航, SAR, InSAR 雷达图像及信号处理方面的研究. Email: jszouwb@263.net

高社生 [956年生. 博士, 副教授. 1981年毕业于陕西师范大学数学系, 1993年获得西北工业大学应用数学系硕士学位, 1996年晋升为副教授, 1999年获得西北工业大学导航、制导与控制专业博士学位, 发表科研论文 20 多篇, 现为中国惯性技术学会仪表专业委员会委员, 现在主要从事惯性技术和组合导航的研究

任思聪 1927 年生、教授,博士生导师、1955 年毕业于大连理工大学,1964 年获得前苏联列宁格勒精密机械与光学学院副博士学位、长期从事精密仪器、惯性传感器、惯性系统、组合导航系统、自动控制与数字信号处理等领域的研究工作